

مطالعه آزمایشگاهی حداکثر عمق آبشستگی ناشی از جت‌های ریزشی آزاد در پایین دست سدهای مخزنی*

سمیرا منصورى^(۱) صمد امام قلی زاده^(۲) خلیل اژدری^(۳) روزبه موذن زاده^(۴)

چکیده در مقاله حاضر نتایج یک مطالعه آزمایشگاهی در زمینه تعیین ابعاد حفرة آبشستگی حاصل از جت‌های ریزشی افقی آزاد در پایین دست دریچه‌های سدهای مخزنی ارائه شده است. هندسه حفرة آبشستگی به بسیاری از پارامترها مانند دبی جت آب خروجی از دریچه‌ها (Q_j)، قطر متوسط رسوبات بستر پایین دست (D_{50}) و زاویه برخورد جت‌های ریزشی در صفحه افقی (θ) بستگی دارد. در این مطالعه اثر این پارامترها مورد بررسی قرار گرفت. بدین منظور اثر پارامترهای دبی جت آب خروجی از دریچه‌ها (Q_j)، قطر متوسط رسوبات بستر پایین دست (D_{50}) و زاویه برخورد جت‌های ریزشی در صفحه افقی (θ) مورد ارزیابی قرار گرفته است. جت آب از لوله‌هایی با مقاطع دایره‌ای به قطر ۱/۲۵ اینچ از ارتفاع ثابت ۹۵ سانتی‌متر بر روی بستر رسوبات پایین دست ریزش می‌نمود. کف حوضچه پایین دست با سه نوع رسوب غیرچسبنده یکنواخت با قطر متوسط معادل ۱/۷، ۳/۲ و ۶/۷۵ میلی‌متر تا ارتفاع ۲۰ سانتی‌متر پوشانده شد. آزمایش‌ها با دبی‌های متفاوت در محدوده ۱/۳۲ تا ۵/۱۴ لیتر بر ثانیه انجام گرفت. نتایج پژوهش نشان می‌دهد در تمامی آزمایش‌های انجام شده حفرة آبشستگی در پایین دست مخزن تشکیل شده و با افزایش دبی، مقدار عمق آبشستگی (d_s) افزایش یافته است. آنالیز حساسیت صورت گرفته بر رابطه عمومی معرفی شده در این پژوهش حاکی از آن است که اعمال $\pm 20\%$ درصد تغییر در پارامترهای دبی جت، قطر متوسط رسوبات بستر و زاویه برخورد جت‌های ریزشی در صفحه افقی در مجموع عمق نسبی آبشستگی ($\frac{d_s}{h_{tw}}$) را به ترتیب ۱۲/۳۳، ۶/۲۳ و ۳۴/۰۳ درصد تحت تأثیر قرار می‌دهد.

واژه‌های کلیدی جت‌های ریزشی افقی آزاد، دبی جت، زاویه برخورد جت‌ها، حفرة آبشستگی.

Experimental Study of the Maximum Scour Depth Due to Free-Falling Jets at the Downstream of Storage Reservoir

S. Mansouri S. Emamgholizadeh Kh. Ajdary R. Moazenzadeh

Abstract In this study the experimental study an performed to determine the scour hole dimensions due to falling jets at the downstream of storage reservoir. The geometry of the scour hole depends on many parameters such as outflow discharge of gates (Q_j), medium diameter of sediment (D_{50}) and the confluence angle of jets at horizontal plane (θ). In this study, the effect of these parameters were investigated. Water jet falls from pipes with circular section and diameter of 1.25 inch into the downstream pound. The drop height was 95 cm. The downstream pound filled with 20 cm of non-cohesive sediments with medium diameters of 1.7 mm, 3.2 mm and 6.75 mm. Experiments were carried out with different discharges at the range of 1.32 to 5.14 l/s. The results of this study show that for all experiments, a scour hole created at the downstream of the reservoir and with increasing discharge the scour depth (d_s) increased. The sensitive analysis of the proposed general equation showed that when jet discharge, sediment diameter and the confluence angle of jets at horizontal plane (θ) changed $\pm 20\%$, the relative scour depth (d_s / h_{tw}) changed 12.33, 6.23 and 34.03 %, respectively.

Key Words Free- Falling Jets, Jet Discharge, Impinging Angle of Jets, Scour Hole.

* تاریخ دریافت مقاله ۹۵/۸/۱۳ و تاریخ پذیرش آن ۹۷/۹/۳ می‌باشد.

(۱) دانشجوی کارشناسی ارشد سازه های آبی، گروه آب و خاک، دانشکده کشاورزی، دانشگاه صنعتی شاهرود.

(۲) نویسنده مسئول: دانشیار، گروه آب و خاک، دانشکده کشاورزی، دانشگاه صنعتی شاهرود.

Email: s_gholizadeh517@Shahroodut.ac.ir

(۳) دانشیار، گروه آب و خاک، دانشکده کشاورزی، دانشگاه صنعتی شاهرود.

(۴) استادیار گروه آب و خاک، دانشکده کشاورزی، دانشگاه صنعتی شاهرود

مقدمه

برای تخلیه سیلاب از کنار و یا از روی سدها، روش‌های متعددی وجود دارد. یک روش آن است که جریان به صورت آزاد در هوا رها شود. این هدف با احداث سرریزهای آزاد آبخاری مستقر در تراز نزدیک به تاج سد، یا سرریزهای تنداب منتهی به جام پرتاب‌کننده، یا با سرریزهای روزنه‌ای و یا دریچه‌های مستقر در ترازهای پایین سد حاصل می‌شود. در این حالت، جریان آب به صورت یک جت آزاد پراورزی ریزش می‌کند و در نهایت به محلی در پایین دست سد برخورد می‌نماید که موجب حرکت مواد بستر و ایجاد حفرة آبشستگی می‌گردد و در نهایت ممکن است منجر به شکست سد شود. در این جا مسئله اصلی آن است که جریان سیلاب به نحوی تخلیه گردد که آبشستگی در پایین دست سازه رخ ندهد و یا میزان آن محدود باشد [۱]. از آنجایی که حفاظت کامل بستر پایین دست سازه‌های هیدرولیکی خصوصاً سدها در مقابل این پدیده بسیار گران تمام می‌شود و از طرفی با صرف هزینه‌های بسیار زیاد نیز امکان حفاظت کامل وجود ندارد؛ لازم است با مطالعات آزمایشگاهی روی مدل‌های فیزیکی و هیدرولیکی، به شناسایی عوامل مختلف مؤثر بر این پدیده پرداخت [۲]. آبشستگی متأثر از متغیرهای بسیاری از قبیل پارامترهای جریان، مشخصات بستر، زمان و هندسه سازه است؛ به همین دلیل محققان، اثر پارامترهای مذکور را به صورت آزمایشگاهی مورد بررسی قرار دادند. در نهایت روابط تجربی بسیاری برای پارامترهای مختلف آبشستگی از قبیل حداکثر عمق حفرة در حالت تعادل، ارائه شده است. این روابط نتایج بسیار متفاوتی را به ازای شرایط یکسان جریان نشان می‌دهند. این گونه تضادها در بحث آبشستگی در مجاورت سازه‌های هیدرولیکی، لزوم انجام تحقیقات بیشتر برای افزایش دانش و آگاهی موجود در راستای برنامه‌ریزی مناسب و کاهش خسارات ناشی از آبشستگی را ضروری می‌سازد. بررسی منابع نشان می‌دهد مسئله آبشستگی در پایین دست سازه‌ها

مورد توجه محققان بوده است. برای مثال پاکیلارا و همکاران [3] به بررسی آبشستگی ناشی از جت مایل در حوضچه مستغرق پرداختند. هم‌چنین پاکیلارا و همکاران [4] تأثیر دو جت متقاطع را در کاهش آبشستگی در حوضچه آرامش مورد بررسی قرار دادند. اکزی و لیم [5] مطالعاتی را به منظور بررسی تأثیر جت ریزشی در ایجاد آبشستگی در پایین دست دریچه کشویی انجام دادند.

هم‌چنین در خصوص یافتن رابطه‌ای برای تخمین عمق آبشستگی در پایین دست آبشار، شوکلیچ یکی از اولین کسانی بود که مطالعاتی را در این زمینه انجام داد و رابطه زیر را بر مبنای داده‌های آزمایشگاهی پیشنهاد کرد [6]:

$$d_s = 4.75 \frac{H^{0.2} q^{0.5}}{D_{90}^{0.30}} - d_2 \quad (1)$$

که در آن d_s حداکثر عمق حفرة آبشستگی (متر)، H فاصله عمودی بین خط انرژی بالادست و سطح آب پایین دست (متر)، q دبی در واحد عرض (مترمکعب در ثانیه در متر) و D_{90} اندازه مصالح رسوبی بستر رودخانه است که ۹۰ درصد ذرات از آن کوچک‌تر می‌باشند (متر) و d_2 عمق آب پایین دست (متر) است. جانسون مطالعاتی روی جت‌های عمودی انجام داد. مطالعات انجام شده نشان می‌دهد که اگر جتی با قطر ۴۰ میلی‌متر به ۳۲ جت تقسیم گردد منتهی مساحت آن تغییر نکند، تفاوت معنی‌داری در عمق آبشستگی ایجاد نمی‌کند، در حالی که اگر به جتی با قطر ۴۰ میلی‌متر ۵۰ درصد هوا مخلوط شود به طوری که سرعت و دبی جریان تغییر نکند، حداکثر عمق آبشستگی به شدت کاهش می‌یابد [7]. میسون به مطالعاتی در زمینه آبشستگی ناشی از جت‌های ریزشی پرداخت. بر اساس مطالعات وی روابطی که از شدت جریان، ارتفاع ریزش و اندازه ذرات در پیش‌بینی حداکثر عمق آبشستگی استفاده می‌کنند، به قدر کافی دقت دارند و وارد کردن پارامترهای دیگر، پیش‌بینی‌ها را در حد قابل قبولی بهبود نمی‌بخشد [8].

آزمایش‌های انجام شده توسط سعیدی‌نژاد نشان

که در این رابطه Fr عدد فرود، D بیشترین عمق آب شستگی و h_t عمق پایاب است. کلانتری و بازرگان نیز با به کارگیری داده های میدانی و آزمایشگاهی جمع آوری شده، رابطه بی بعدی را برای تخمین میزان آب شستگی ناشی از جت های ریزشی آزاد پایین دست سرریز پرتابی ارائه دادند. این رابطه می تواند در طراحی اولیه این گونه سرریزها برای تخمین حداکثر عمق آب شستگی پایین دست توصیه شود [۱۳]. در مجموع بررسی منابع نشان می دهد، هنوز به طور خاص تحقیقی در ارتباط با جت های ریزشی افقی در پایین دست سدهای مخزنی انجام نشده است. بنابراین در تحقیق حاضر با استفاده از ساخت مدل فیزیکی به بررسی این پدیده پرداخته شد و همچنین تأثیر پارامترهای مؤثر در ایجاد حفره آب شستگی مانند تأثیر پارامترهای هندسی و هیدرولیکی بر حداکثر عمق آب شستگی مورد بررسی قرار گرفت.

مواد و روشها

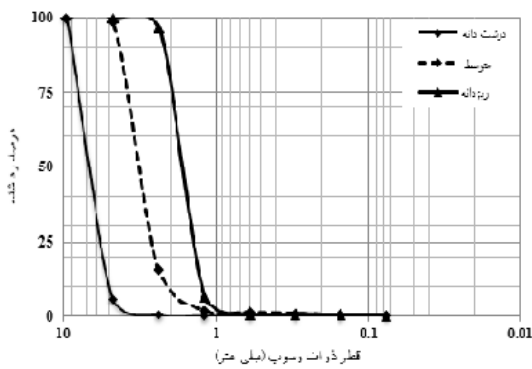
در تحقیق حاضر مدل آزمایشگاهی دریاچه برای بررسی پدیده آب شستگی موضعی در پایین دست سدهای مخزنی طراحی شده است. آزمایش های مربوط به این تحقیق در آزمایشگاه هیدرولیک دانشگاه صنعتی شاهرود، در یک فلوم مستطیلی شکل با عرض ۱ متر، طول ۲/۴۳ متر و ارتفاع (فاصله کف حوضچه رسوب تا سطح زمین) ۱/۱۱ متر انجام شد؛ به طوری که آب شستگی درون آن تحت تأثیر دیواره های کناری قرار نمی گرفت. دیواره های فلوم از جنس پلاکسی گلاس شفاف بود که امکان مشاهده تغییرات آب شستگی را فراهم می ساخت و کف آن از فلز (ورق گالوانیزه) با شیب صفر ساخته شده بود.

برای ساخت مدل، از سه لوله با مقاطع دایره ای به قطر ۱/۲۵ اینچ از جنس نیوپایپ به عنوان دریاچه های سد استفاده شد. به منظور بررسی تأثیر زاویه استقرار دریاچه ها بر میزان آب شستگی، لوله ها در سه حالت با

می دهد که دبی جریان یا سرعت جت آب خروجی مهم ترین عامل در آب شستگی پایین دست سرریز است؛ به طوری که با افزایش سرعت جت، پتانسیل حمل رسوب افزایش یافته و در نتیجه ابعاد حفره آب شستگی گسترش پیدا می کند. همچنین طول و عرض حفره آب شستگی با عدد فرود رابطه مناسب دارد در صورتی که عمق حفره با نسبت سرعت جریان به سرعت برشی بحرانی ارتباط بهتری دارد [۹]. آذر اثر دانه بندی مصالح بر حداکثر عمق آب شستگی پایین دست سرریزهای ریزشی آزاد را مورد بررسی قرار داد. او در مطالعات خود رابطه بدون بعدی ارائه کرد که هم برای مصالح یکنواخت پایین دست و هم مصالح غیریکنواخت کاربرد دارد. در نهایت، با تحلیل داده های به دست آمده در آزمایشگاه، رابطه جدیدی برای تخمین حداکثر عمق آب شستگی ارائه داد [۲]. مهرآیین و قدسیان به بررسی آزمایشگاهی آب شستگی موضعی ناشی از جت های مایل پرداختند. نتایج نشان داد ابعاد حفره آب شستگی، در جت های مایل کمتر از جت های افقی است. در نهایت به این نتیجه رسیدند که از جت های مایل می توان به عنوان راه حلی برای کاهش ابعاد حفره آب شستگی استفاده کرد [۱۰].

فرودی [11] در بررسی آب شستگی پایین دست دریاچه کشویی به این نتیجه دست یافت که حجم رسوبات جابه جاشده به میزان دبی جریان حساس است که منجر به عمق آب پایین دست متغیری می شود. ترمینی [6] آب شستگی بستر پایین دست دریاچه کشویی را تحت شرایط جریان پایدار مورد مطالعه قرار داد. نتایج نشان داد که حفره آب شستگی در ۳۴ درصد اول طول مخزن رسوبات رخ می دهد. اکبری و همکاران [۱۲] به مطالعه آزمایشگاهی تأثیر تغییرات دبی و عمق پایاب بر آب شستگی حاصل از جت خروجی از پرتاب کننده جامی شکل پرداختند و در نهایت رابطه زیر را برای بیشترین عمق آب شستگی ارائه دادند (اکبری و همکاران، ۱۳۹۰):

$$\frac{D}{h_t} = 5.36(Fr)^{0.99} \quad (2)$$

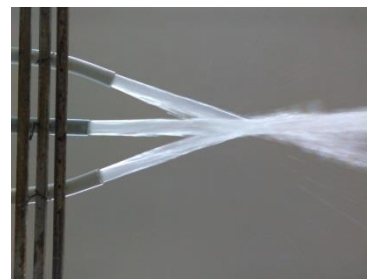
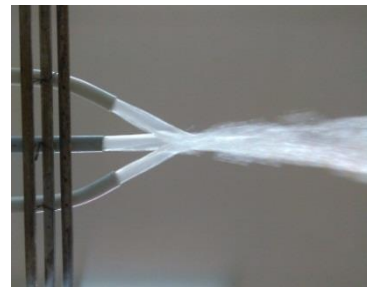
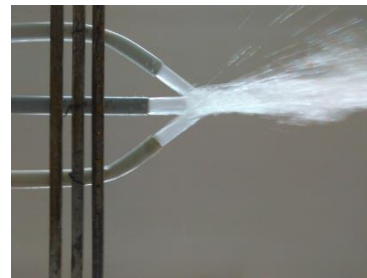


شکل ۲ منحنی دانه‌بندی رسوبات مورد استفاده در آزمایش‌ها

یک واحد توری سنگ نیز در انتهای فلوم هم‌سطح با ذرات رسوب بستر (با دانه‌بندی مختلف) برای جلوگیری از شسته شدن رسوبات در نظر گرفته شد. قبل از انجام هر آزمایش سطح بستر با استفاده از ماله چوبی و تراز کاملاً مسطح شد و برای ایجاد تراکمی یکنواخت، به منظور حصول اطمینان از شرایط یکسان و عدم وقوع تغییرات موضعی غیرقابل پیش‌بینی، با الوار کوبیده شد. سپس نقاط مختلف بستر به صورت تصادفی با استفاده از عمق‌سنج نقطه‌ای (با دقت ۰/۱ میلی‌متر)، تراز و یک صفحه مسطح کنترل گردید تا خطای چشمی در آزمایش‌ها دخالت نداشته و تمام سطح بستر صاف و یک‌دست باشد. بعد از تراز کردن سطح بستر، بازه رسوبی به وسیله یک ورق از جنس پلی‌اتیلن کاملاً پوشانده شد؛ به طوری که آب بدون برخورد با بستر، به انتهای حوضچه رسوب هدایت می‌شد. این امر باعث می‌شد که شرایط نامناسب قبل از شروع هر آزمایش (دبی و زاویه نامطلوب) تأثیری بر نتایج به دست آمده نداشته باشد.

در ادامه الکتروپمپ روشن شد و با باز شدن تدریجی شیر ورودی، جریان آب به آرامی از طریق لوله‌ای به قطر ۲/۵ اینچ از مخزن وارد دریچه‌ها (به قطر ۱/۲۵ اینچ) شد و از آنجا به داخل فلوم جریان یافت. سپس دبی افزایش یافت تا دبی مورد نظر حاصل شود. پس از تنظیم دبی و دستیابی به مقدار مورد نظر، در یک لحظه پوشش پلی‌اتیلن از روی بستر برداشته شد و زمان صفر

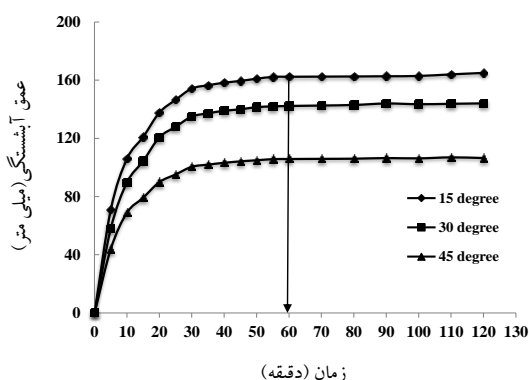
سه زاویه ۱۵، ۳۰ و ۴۵ درجه (نسبت به صفحه افق) به فاصله ۱۰ سانتی‌متر از هم در ابتدای فلوم نصب و به طور کامل آب‌بندی گردید. شکل (۱) نمایی از برخورد جت‌های ریزشی افقی را در سه زاویه مختلف نشان می‌دهد.



شکل ۱ برخورد جت‌های ریزشی افقی با سه زاویه ۱۵، ۳۰ و ۴۵ درجه نسبت به صفحه افق (به ترتیب از راست به چپ)

سپس بستر پایین دست دریچه‌ها به ارتفاع ۲۰ سانتی‌متر از سه نوع رسوب غیرچسبنده با قطر متوسط ذرات (D_{50}) معادل با ۱/۷، ۳/۲ و ۶/۷۵ میلی‌متر و به ترتیب انحراف معیار هندسی ($\sigma_g = \sqrt{D_{84}/D_{16}}$) برابر با ۱/۲۹، ۱/۳ و ۱/۲۸ پوشانده شد؛ که منحنی دانه‌بندی مربوط به هر یک در شکل (۲) ارائه شده است.

شکل (۳) مشهود است، در مرحله اولیه، با برخورد جت آب خروجی از دریچه‌ها به بستر پایین‌دست، آب شستگی به سرعت رخ می‌دهد و شیب آن در این مرحله زیاد است. در مرحله دوم (مرحله توسعه) با افزایش قدرت و اندازه گرداب‌های ایجادشده، ابعاد حفره آب‌شستگی افزایش می‌یابد و شیب منحنی در این مرحله خیلی کمتر از مرحله قبل است. در مرحله سوم (مرحله تثبیت) نیز تغییرات کاهش می‌یابد و نهایتاً در مرحله پایانی (مرحله تعادل) ابعاد حفره آب‌شستگی بعد از مدت ۶۰ دقیقه به ۹۰ درصد حالت تعادل یا بالاتر از آن می‌رسد که شیب منحنی در این مرحله نزدیک به صفر است. در نتیجه باتوجه به منحنی ارائه‌شده، زمان ۶۰ دقیقه به‌عنوان زمان اجرای آزمایش‌ها در نظر گرفته شد.



شکل ۳ تغییرات زمانی حداکثر عمق آب‌شستگی برای بحرانی‌ترین شرایط (رسوبات ریزدانه و بیشترین سرعت جت)

برای استخراج رابطه حاکم بر مسئله از آنالیز ابعادی به روش باکینگهام (قضیه π)، استفاده گردید. بدین منظور عوامل مؤثر بر آب‌شستگی تحت اثر جت آب خروجی از دریچه‌ها به شرح زیر دسته‌بندی گردید: عوامل مربوط به سیال و رسوب. لزجت دینامیکی (μ)، جرم مخصوص آب (ρ_w)، جرم مخصوص مستغرق ذرات رسوب ($\rho_s - \rho_w$)، شتاب ثقل (g) و

درج گردید. خاتمه آزمایش زمانی بود که ذرات رسوبی بستر به پایین‌دست منتقل نشدند و حفره آب‌شستگی به حالت تعادل رسید. لازم به ذکر است که اندازه‌گیری دبی جریان به روش حجمی صورت گرفت؛ بدین صورت که جریان خروجی از دریچه‌ها وارد ظرفی با حجم مشخص شد و با ثبت مدت زمانی که ظرف پر می‌شد، مقدار دبی از حجم ظرف به زمان محاسبه گردید.

آزمایش‌ها به‌ازای ارتفاع ریزش (فاصله از وسط مقطع لوله تا سطح بستر) ثابت برابر ۹۵ سانتی‌متر و دبی‌های متفاوت ۱/۳۲، ۲/۰۶، ۲/۸۵، ۴/۰۰، ۴/۷۴ و ۵/۱۴ لیتر بر ثانیه صورت گرفت. در نهایت پروفیل آب‌شستگی به صورت شبکه ۵×۵ سانتی‌متر برداشت شد. این کار توسط عمق‌سنج نقطه‌ای (با دقت ۰/۱ میلی‌متر) که به‌طور دستی در راستای محور طولی و عرضی بستر حرکت می‌کرد و امکان خواندن هر سه مختصات نقطه موردنظر را فراهم می‌ساخت، صورت گرفت. باتوجه به داده‌های برداشت‌شده، ابعاد حفره آب‌شستگی از قبیل طول، عرض و حداکثر عمق آب‌شستگی و نیز ارتفاع برآمدگی رسوبات در پایین‌دست حفره استخراج گردید تا روند آب‌شستگی مشخص گردد.

بنابراین برای بررسی تأثیر پارامترهای هیدرولیکی و هندسی بر ابعاد حفره آب‌شستگی، پنجاه و چهار آزمایش با به‌کارگیری شرایط مختلف شامل شش دبی، سه دانه‌بندی و سه زاویه برای برخورد جت‌های ریزشی افقی انجام شد. پس از انجام آزمایش‌ها، داده‌های مربوط به آب‌شستگی مانند طول و عمق آب‌شستگی اندازه‌گیری شد و هم‌چنین به کمک نرم‌افزار Surfer حجم آب‌شستگی محاسبه گردید.

در پژوهش حاضر به منظور تعیین مدت زمان آزمایش، سه آزمایش ۱ ساعته برای بحرانی‌ترین شرایط (رسوبات ریزدانه و بیشترین سرعت جت) در هر زاویه انجام پذیرفت. ابعاد آب‌شستگی به صورت مرتب برداشت شد و در نهایت شکل پیشرفت حداکثر عمق آب‌شستگی با زمان ترسیم گردید. همان‌طوری که از

قطر متوسط رسوبات (D_{50}).

گرفته است، لذا نسبت B/h_j (نسبت عرض حوضچه رسوب (B) به ارتفاع ریزش جت (h_j)) از رابطه (۴) حذف شد. همچنین با ترکیب دو پارامتر بدون بعد $\frac{\rho V_j h_j}{\mu}$ و $\frac{D_j}{h_j}$ پارامتر عدد رینولدز ($R_e = \frac{\rho_w V_j h_j}{\mu}$) به دست آمد. با ترکیب سه پارامتر بدون بعد $\frac{\rho_s - \rho_w}{\rho_s}$ ، $\frac{D_j}{h_j}$ و $\frac{D_{50}}{h_j}$ پارامتر بدون بعد $F_g = \frac{V_j}{\sqrt{g(G_s - 1)D_{50}}}$ به دست آمد که به پارامتر عدد فرود ذره معروف است. از طرفی طبق محاسبات انجام شده مقدار عدد رینولدز جریان (R_e) بسیار بالا است و جریان متلاطم (Turbulent Flow) برقرار است؛ پس می توان از اثر لزجت (Viscosity) و یا پارامتر بی بعد R_e صرف نظر کرد. در مجموع با ترکیب پارامترها نهایتاً رابطه (۵) به دست می آید:

$$\frac{d_s}{h_j} = f\left(\frac{V_j}{\sqrt{g(G_s - 1)D_{50}}}, \theta\right) \quad (5)$$

رابطه (۵) بیانگر این مطلب است که عمق نسبی آب شستگی (d_s/h_{tw}) تابعی از عدد فرود ذره (F_g) و زاویه برخورد جت های ریزشی آزاد نسبت به صفحه افق (θ) می باشد. مقادیر حداقل، حداکثر، میانگین، انحراف از معیار و ضریب تغییرات پارامترهای F_g ، θ ، $\frac{d_s}{h_{tw}}$ در جدول (۱) آمده است:

جدول ۱ پارامترهای آماری متغیرهای مورد استفاده در رابطه (۵)

پارامتر	حداقل	متوسط	حداکثر	انحراف از معیار	ضریب تغییرات
θ (rad)	۰/۲۶	۰/۵۲	۰/۷۹	۰/۲۲	۴۱/۲۱
F_g	۴/۹۸	۱۸/۷۵	۳۸/۶۶	۹/۶۵	۵۱/۴۶
(d_s/h_{tw})	۰/۸۰	۱/۷۴	۲/۸۵	۰/۵۳	۳۰/۵۳

عوامل هیدرولیکی. دبی جت آب خروجی از دریچه ها (Q_j) و عمق پایاب (h_{tw}).

عوامل هندسی. عرض حوضچه رسوب (B)، ارتفاع ریزش جت (h_j)، زاویه برخورد جت های ریزشی آزاد نسبت به صفحه افق (θ) و قطر جت (D_j). پارامتر عمق حفرة آب شستگی (d_s) نیز در محاسبات آنالیز ابعادی مؤثر است. باتوجه به متغیرهای ذکر شده، پارامترهای مؤثر بر عمق آب شستگی را می توان به صورت تابع (۳) نمایش داد:

$$f(V_j, B, h_{tw}, h_j, D_{50}, g, \mu, \rho_w, \rho_s - \rho_w, \theta, D_j, d_s) = 0 \quad (3)$$

با انجام آنالیز ابعادی به روش باگینگهام و انتخاب سه متغیر V_j ، ρ_w و h_j به عنوان متغیرهای تکراری، رابطه (۴) حاصل شد:

$$f\left(\frac{B}{h_j}, \frac{h_{tw}}{h_j}, \frac{D_{50}}{h_j}, \frac{g h_j}{V_j^2}, \frac{\rho_s - \rho_w}{\rho_s}, \frac{\rho_w V_j h_j}{\mu}, \theta, \frac{D_j}{h_j}, \frac{d_s}{h_j}\right) = 0 \quad (4)$$

باتوجه به این که در این تحقیق تمامی آزمایش ها در یک فلوم آزمایشگاهی و با ارتفاع ریزش ثابت انجام

نتایج و بحث

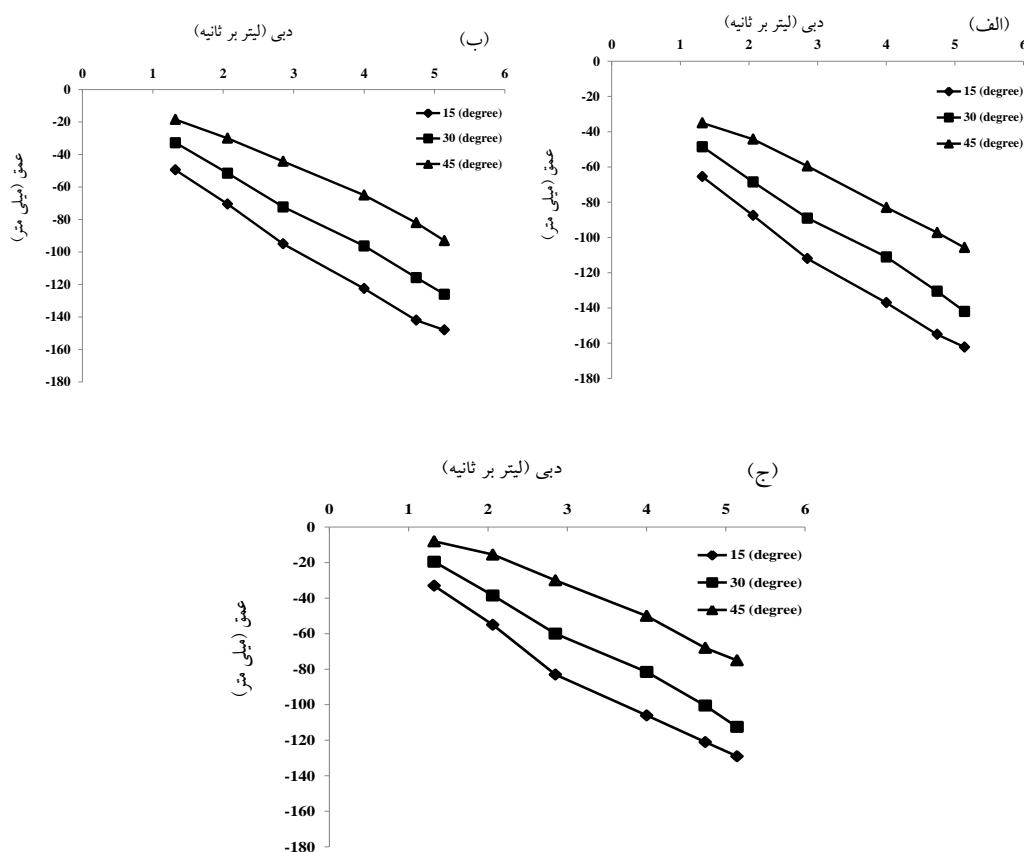
مشاهدات آزمایشگاهی نشان داد فرایند آب شستگی اولیه خیلی سریع است. در این حالت جت آب خروجی از دریچه‌ها پس از برخورد با بستر پایین دست، مواد فرسایش یافته را از ته حفرة آب شستگی می‌شوید و همراه خود به سمت پایین دست انتقال می‌دهد. در این محدوده بخشی از جت به همراه مصالح منحرف می‌شود و تقریباً رو به بالا بلند می‌شود و قسمتی از جریان به سمت بالادست برمی‌گردد و وارد جریان بالادست می‌شود. رسوبات همراه این جریان به صورت معلق داخل حفرة باقی می‌مانند. بقیه جریان به سمت پایین دست منتقل می‌شود و بخشی از مواد فرسایش یافته همراه خود را روی سطح شیب دار ته نشین می‌کند و همراه بقیه ذرات به سمت پایین دست حرکت می‌کند. تراز بستر در محدوده سطح شیب دار به طور متناوب افزایش می‌یابد و مواد ته نشین شده در این سطح به تدریج سر می‌خورند و به داخل حفرة اصلی بازمی‌گردند. پس از قطع جریان، هر دو سطح بالادست و پایین دست حفرة با زاویه قرارگیری مواد بستر (ϕ) به داخل حفرة ریزش خواهند کرد.

در این بخش از تحقیق نسبت به ارائه نتایج حاصل از اعمال اثر سه پارامتر دبی جت آب خروجی از دریچه‌ها، قطر متوسط رسوبات بستر و زاویه برخورد جت‌های ریزشی افقی آزاد بر ابعاد حفرة آب شستگی اقدام شده است.

بررسی تأثیر دبی جت آب خروجی از دریچه‌ها. یکی از پارامترهای تأثیرگذار در روند انجام این تحقیق، دبی مورد استفاده در آزمایش‌ها بود. شکل (۴) مربوط به تأثیر دبی در روند تغییرات حداکثر عمق آب شستگی (d_s) را برای هر یک از رسوبات ریزدان $(D_{50}=1/7\text{mm})$ ، متوسط $(D_{50}=3/2\text{mm})$ و درشت‌دانه $(D_{50}=6/75\text{mm})$ به ازای زوایه‌های مختلف $(\theta=15, 30, 45)$ نسبت به

صفحه افق نشان می‌دهد. همان‌گونه که ملاحظه می‌شود در تمامی حالات جریان و در دانه‌بندی‌های مختلف، دبی جت آب خروجی از دریچه‌ها تأثیر زیادی بر میزان حداکثر عمق آب شستگی بستر پایین دست دریچه‌ها دارد؛ به طوری که در یک دانه‌بندی و زاویه ثابت با افزایش دبی، d_s افزایش می‌یابد. در واقع افزایش دبی همراه با افزایش انرژی جنبشی جت است که این امر منجر به افزایش پتانسیل حمل رسوبات در پایین دست دریچه‌ها، افزایش میزان آب شستگی موضعی و در نهایت نشست بیشتر بستر پایین دست شده است.

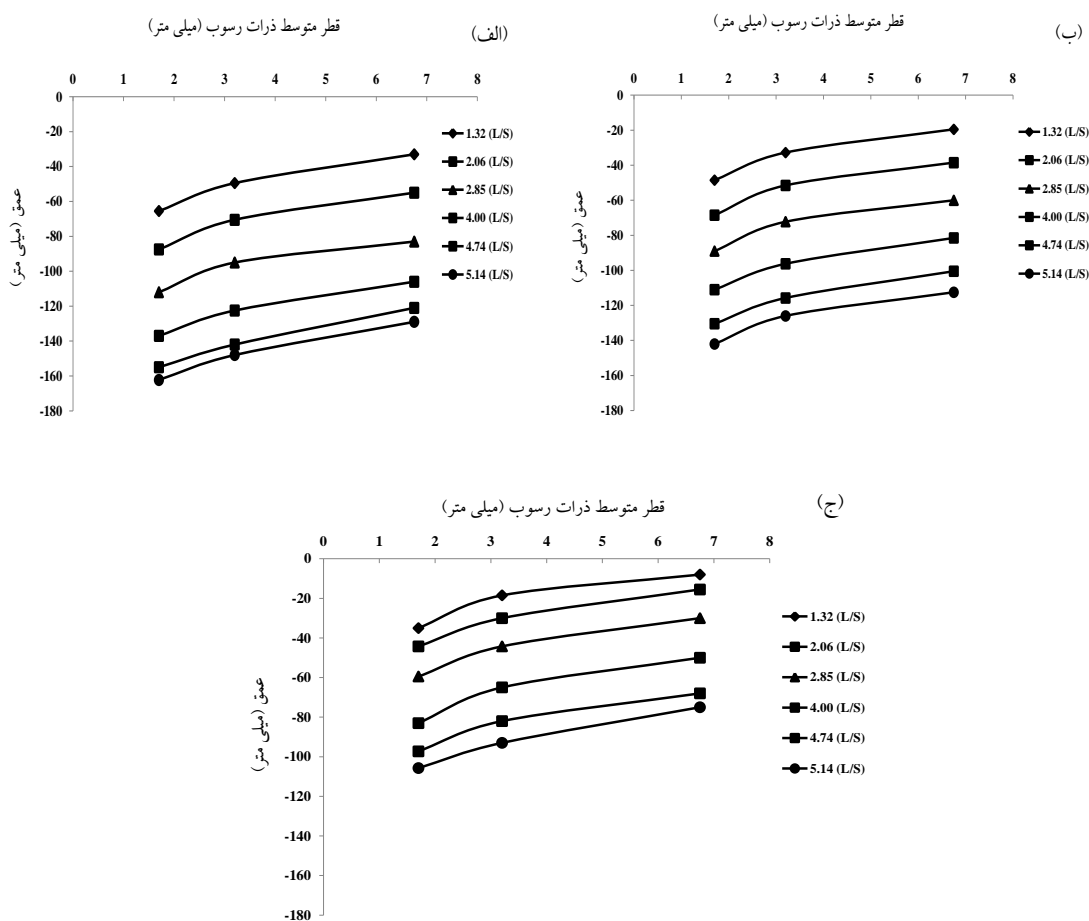
همان‌طور که در شکل (۴) مشاهده می‌شود اولاً با افزایش مقدار دبی جت، مقادیر حداکثر عمق آب شستگی افزایش می‌یابد. ثانیاً حداقل مقدار آب شستگی به ازای دبی $1/32$ لیتر بر ثانیه و در زاویه 45 درجه نسبت به صفحه افق معادل 8 میلی‌متر و حداکثر آن به ازای دبی $5/14$ لیتر بر ثانیه و در زاویه 15 درجه (نسبت به صفحه افق) معادل $162/25$ میلی‌متر است. نکته مهم دیگری که در این شکل وجود دارد این است که در زاویه 15 درجه، درصد کاهش عمق آب شستگی با کاهش دبی از $4/74$ به $4/00$ لیتر بر ثانیه کمتر از $2/06$ به $1/32$ لیتر بر ثانیه می‌باشد. علت این پدیده را می‌توان این‌گونه استدلال نمود که در دبی $2/06$ لیتر بر ثانیه آب شستگی اتفاق افتاده و به یک حد قابل قبول رسیده است، اما در دبی $1/32$ لیتر بر ثانیه هنوز این اتفاق نیفتاده است؛ به همین دلیل اختلاف زیادی بین مقادیر عمق آب شستگی دیده می‌شود؛ در حالی که در دبی‌های $4/00$ و $4/74$ لیتر بر ثانیه آشفستگی لازم وجود دارد و این اختلاف کمتر است. این روند تقریباً در سایر زوایه‌ها $(45, 30)$ نیز برقرار است و نشان‌دهنده این موضوع است که در دبی‌های پایین‌تر، درصد کاهش عمق آب شستگی بیشتر است.



شکل ۴ تغییرات حداکثر عمق آب‌شستگی (d_s) به‌ازای دبی‌های مختلف در رسوبات الف) ریزدانه، ب) متوسط و ج) درشت‌دانه

مقدار حداکثر عمق آب‌شستگی دارد. به‌طوری‌که با افزایش D_{50} برای دبی‌های مختلف، حداکثر عمق آب‌شستگی در پایین‌دست دریاچه‌ها کاهش می‌یابد. در واقع آنچه در نحوه تشکیل حفره آب‌شستگی مؤثر است قدرت حمل جریان می‌باشد که آن هم تحت تأثیر انرژی جنبشی جت و اندازه ذرات رسوب است. هرچه دانه‌بندی ریزتر باشد به دلیل افزایش پتانسیل حمل رسوب، میزان حداکثر عمق آب‌شستگی افزایش می‌یابد. نکته مهم دیگری که در این شکل وجود دارد این است که با افزایش بیشتر قطر متوسط ذرات رسوب، عمق آب‌شستگی در دبی‌های بالا نسبت به دبی‌های پایین کاهش قابل ملاحظه‌ای نداشته‌است. این پدیده را می‌توان این‌گونه توجیح کرد که در واقع در شرایطی از جریان، دبی اثر خود را در روند آب‌شستگی از دست می‌دهد یا تأثیر آن کمتر می‌شود.

بررسی تأثیر قطر متوسط رسوبات بستر. شکل (۵) به ترتیب به بررسی تأثیر تغییر دانه‌بندی بستر در روند تغییرات حداکثر عمق آب‌شستگی (d_s) در هر یک از زوایای ۱۵، ۳۰ و ۴۵ درجه نسبت به صفحه افق، به‌ازای دبی‌های مختلف $2/85$ ، $4/00$ ، $4/74$ ، $5/14$ Lit/s می‌پردازد. با توجه به شکل مذکور ملاحظه می‌شود در هر یک از زوایای ۱۵، ۳۰ و ۴۵ درجه کمترین مقدار آب‌شستگی در رسوبات با قطر متوسط $6/75$ میلی‌متر و به‌ازای دبی $1/32$ لیتر بر ثانیه به ترتیب معادل 33 ، $19/5$ و 8 میلی‌متر است. در مقابل حداکثر مقدار آب‌شستگی در رسوبات با قطر متوسط $1/7$ میلی‌متر و به‌ازای دبی $5/14$ لیتر بر ثانیه به ترتیب معادل $162/25$ ، 142 و $105/75$ میلی‌متر است. همان‌گونه که ملاحظه می‌شود برای تمامی حالات جریان و در زوایای مختلف، افزایش قطر متوسط رسوبات تأثیر معکوس در



شکل ۵ تغییرات حداکثر عمق آب شستگی (d_g) برای دانه‌بندی‌های مختلف: الف) برای زاویه ۱۵ درجه، ب) زاویه ۳۰ درجه و ج) زاویه ۴۵ درجه

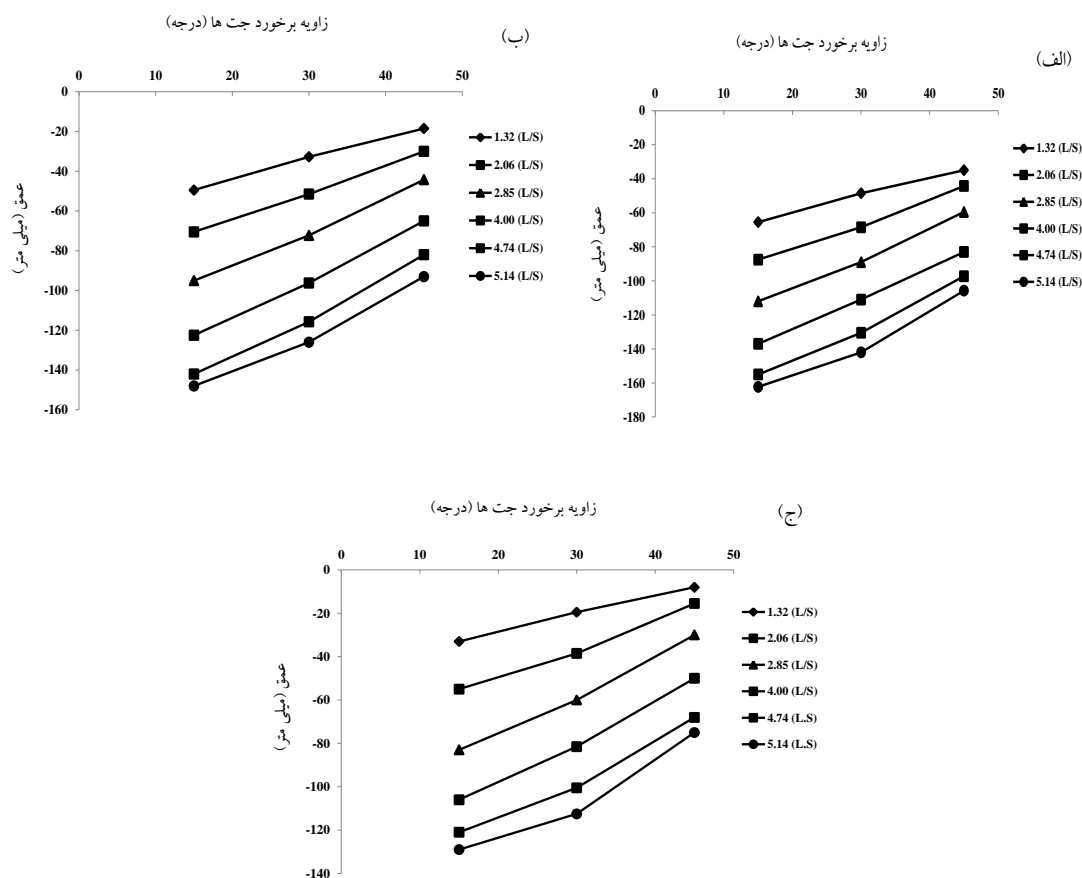
تأثیر تغییر زاویه برخورد جت‌های ریزشی آزاد (θ) در روند تغییرات حداکثر عمق آب شستگی (d_g) برای هر یک از دانه‌بندی‌های ۱/۷، ۳/۲ و ۶/۷۵ میلی‌متر به‌ازای دبی‌های مختلف (۵/۱۴، ۴/۷۴، ۴/۰۰، ۲/۸۵، ۲/۰۶ Lit/s) می‌پردازد. همان‌طور که مشاهده می‌شود در هر یک از دانه‌بندی‌های ۱/۷، ۳/۲ و ۶/۷۵ میلی‌متر، بیشترین مقدار آب شستگی در زاویه ۱۵ درجه و به‌ازای دبی ۵/۱۴ لیتر بر ثانیه به‌ترتیب معادل ۱۶۲/۲۵، ۱۴۸ و ۱۲۹ میلی‌متر است. در مقابل حداقل مقدار آن در زاویه ۴۵ درجه و به‌ازای دبی ۱/۳۲ لیتر بر ثانیه به‌ترتیب معادل ۳۵، ۱۸/۵ و ۸ میلی‌متر است. نکته دیگر این است که با افزایش زاویه برخورد جت‌های ریزشی آزاد از ۱۵ به ۴۵

بررسی مطالعات انجام‌شده و منابع موجود نشان داد که قرار دادن دریچه‌ها در بدنه سد با ایجاد آشفتگی اولیه در جریان، باعث اتلاف مقداری از انرژی جنبشی جت و در نتیجه کاهش پتانسیل حمل رسوب توسط جریان می‌شود. با توجه به داده‌های مشاهداتی و نتایج حاصل از این تحقیق نیز می‌توان افزود که مقدار این کاهش پتانسیل با افزایش قطر متوسط رسوبات بستر افزایش می‌یابد.

بررسی تأثیر زاویه برخورد جت‌های ریزشی افقی آزاد نسبت به صفحه افقی. پارامتر تأثیرگذار دیگر در روند انجام این تحقیق، زاویه برخورد جت‌های ریزشی افقی آزاد نسبت به صفحه افق (θ) بود. شکل (۶) به بررسی

مقادیر d_s مشاهده می‌گردد. در نهایت با تحلیل داده‌های مشاهداتی می‌توان گفت تغییرات زاویه برخورد جت‌های ریزشی آزاد نسبت به صفحه افق (θ)، روی حداکثر عمق آب‌شستگی (d_s) پایین‌دست دریچه‌ها، تقریباً در تمامی دانه‌بندی‌ها و حالت‌های جریان روند یکسانی را نشان می‌دهد. هرچه دبی جریان کمتر شود، مقدار حداکثر عمق آب‌شستگی در زاویه موردنظر کاهش می‌یابد. اگر این تغییر با افزایش قطر متوسط رسوبات بستر همراه باشد، مقدار d_s کاهش بیشتری خواهد داشت. همچنین با افزایش θ به دلیل تحلیل انرژی جنبشی جت، کاهش قابل ملاحظه‌ای در مقدار d_s مشاهده می‌شود.

درجه نسبت به صفحه افق، مقدار افت d_s شدیدتر از حالتی است که زاویه از ۱۵ به ۳۰ درجه و یا از ۳۰ به ۴۵ درجه افزایش می‌یابد. این موضوع به این دلیل است که ابتدا با نصب دریچه‌ها با زاویه ۱۵ درجه نسبت به صفحه افق، پخش‌شدگی جت‌ها در لحظه برخورد ناچیز است و گرداب‌های شدیدی در پایین‌دست دریچه‌ها ایجاد می‌شود. بنابراین در این شرایط، دریچه‌ها در کاهش انرژی جنبشی جت اثر چندانی از خود نشان نمی‌دهند و مقدار حداکثر عمق آب‌شستگی زیاد است؛ اما با تغییر زاویه قرارگیری دریچه‌ها به زاویه ۴۵ درجه، پخش‌شدگی از انرژی جنبشی جت مستهلک می‌شود و کاهش زیادی در



شکل ۶ تغییرات حداکثر عمق آب‌شستگی (d_s) در زوایای مختلف برخورد جت‌ها برای دانه‌بندی‌های الف) ریزدانه، ب) متوسط و ج) درشت‌دانه

بیشترین مقدار حفره و تل شکل (۷-الف) رسم شده است. همان طور که مشاهده می شود افزایش Q_j از $۱/۳۲$ به $۵/۱۴$ لیتر بر ثانیه در یک دانه بندی و زاویه ثابت ($D_{50}=۶۷۵\text{mm}$ و $\theta=۱۵$) موجب افزایش عمق حفره آب شستگی (d_s)، افزایش گسترش طولی (l_s) و عرضی حفره (W_s)، و در نهایت افزایش حجم حفره (V_s)، به ترتیب به میزان $۷۴/۵۸$ ، $۵۸/۳۳$ ، $۲۷/۲۷$ و $۹۵/۶۲$ درصد می گردد. هم چنین با افزایش دبی، سرعت برشی جریان در پایاب افزایش می یابد که موجب شسته شدن تاج پشته، ته نشین شدن ذرات رسوبی در انتهای پشته و در نهایت هموار شدن سطح پشته و افزایش گسترش طولی آن به میزان $۶۴/۲۹$ درصد می شود. نکته ای دیگر که در این پروفیل ها کاملاً مشخص است، این است که در $Q_j=۵/۱۴\text{Lit/s}$ ، میزان حفره آب شستگی بسیار عمیق تر از پشته ایجاد شده توسط رسوبات است که دلیل آن شسته شدن مقدار زیادی از رسوبات پایین دست دریچه ها می باشد.

در نهایت با توجه به نتایج حاصل از بررسی تأثیر تغییرات پارامتر دبی جت آب خروجی از دریچه ها بر میزان حداکثر عمق آب شستگی پایین دست سدهای مخزنی، می توان گفت که افزایش دبی جریان در شرایط یکسان، منجر به افزایش ابعاد حفره آب شستگی (شامل عمق، طول و عرض حفره) و فاصله محل وقوع حداکثر عمق حفره از انتهای دریچه ها می گردد.

در شکل (۸-الف) پروفیل طولی تغییرات عمق آب شستگی در زاویه ۱۵ درجه نسبت به صفحه افق، به ازای دبی $۵/۱۴$ لیتر بر ثانیه و دانه بندی های مختلف مشاهده می شود. همان طور که ملاحظه می شود به ازای تک تک دانه بندی های به کار رفته در آزمایش، ابتدا حفره آب شستگی و سپس در پایین دست آن تپه رسوبی تشکیل شده است. در این نمودار کمترین مقدار عمق آب شستگی ۱۱۸ میلی متر و بیشترین مقدار آن $۱۶۲/۲۵$ میلی متر است. رسوبات خروجی از چاله آب شستگی نیز پشته های رسوبی را با ارتفاع های ۵۷ میلی متر به عنوان کمترین و

تحلیل گسترش ابعاد حفره آب شستگی در پایین دست سدهای مخزنی. در طراحی دریچه ها در بدنه سدهای مخزنی، گسترش طول و عرض حفره آب شستگی نقش مهمی دارد. با دانستن این که حفره آب شستگی در چه موقعیتی نسبت به دریچه ها گسترش پیدا می کند، می توان به بررسی موقعیت مناسب استقرار دریچه ها با توجه به توپوگرافی منطقه پرداخت.

پروفیل طولی در واقع یک مقطع برش زده از حفره و تل آب شستگی در راستای طول فلوم آزمایشگاهی است. لازم به ذکر است که در بعضی حالات به علت پخش شدگی جت ها در لحظه برخورد، الگوی آب شستگی متقارن نبوده و بیشینه آب شستگی در چپ و راست خط طولی مرکزی اتفاق افتاده است.

در شکل (۷-الف) پروفیل های طولی تغییرات عمق آب شستگی با قرارگیری دریچه ها با زاویه ۱۵ درجه نسبت به صفحه افق در رسوبات درشت دانه ($D_{50}=۶۷۵\text{mm}$) و برای تمامی دبی های مورد استفاده در آزمایش ها رسم شده اند. همان طور که ملاحظه می شود به ازای تک تک دبی های به کار رفته در آزمایش، ابتدا در پایین دست دریچه ها یک حفره آب شستگی ایجاد می گردد. سپس بخشی از رسوبات شسته شده، در طول مسیر جریان روی هم انباشته می شوند و در پایین دست حفره تشکیل پشته رسوبی می دهند. در این شکل کمترین مقدار عمق آب شستگی برابر ۳۰ میلی متر در $Q_j=۱/۳۲\text{Lit/s}$ و بیشترین مقدار آن ۱۱۸ میلی متر در $Q_j=۵/۱۴\text{Lit/s}$ می باشد. هم چنین کمترین ارتفاع تپه $۹/۵$ میلی متر و بیشترین ارتفاع ۵۷ میلی متر می باشد. نکته دیگر این است که با افزایش دبی از $۱/۳۲$ به $۵/۱۴$ لیتر بر ثانیه، سرعت جت خروجی از دریچه ها افزایش می یابد و فاصله محل وقوع حداکثر عمق آب شستگی از انتهای دریچه ها حدود $۵۸/۸۲$ درصد بیشتر می شود.

شکل های (۷-ب و ۷-ج) پروفیل های رسم شده با نرم افزار Surfer را نشان می دهند که برای کمترین و

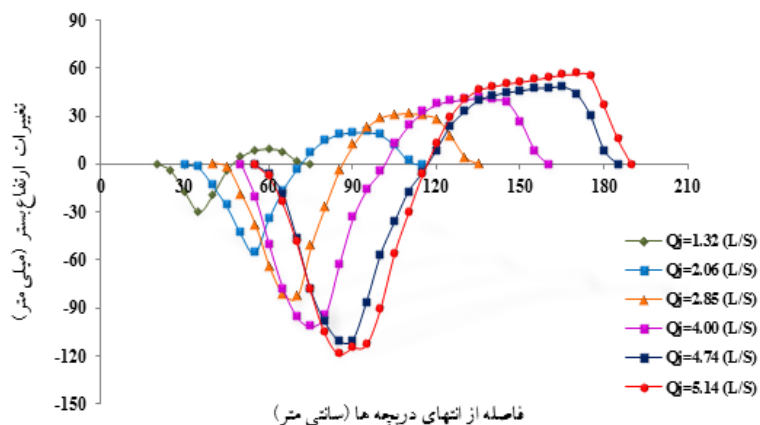
نزدیک می شود.

تغییرات پشته پایین دست نیز تحت تأثیر انرژی جنبشی جت برای شستن رسوبات و قدرت حمل جریان برای انتقال رسوبات شسته شده به پایین دست می باشد. هرگونه تغییر در زاویه برخورد جت ها که موجب تغییر انرژی جنبشی جت و قدرت حمل جریان می شود، تغییر شکل و ارتفاع پشته پایین دست را به همراه دارد. در زاویه ۱۵ درجه، قدرت حمل جریان زیاد است و شرایط جریان بر روی پشته موجب انتقال ذرات رسوبی شسته شده به پایین دست پشته و تغییر شکل آنها به حالت دوزنقه ای می گردد؛ در صورتی که با افزایش زاویه برخورد جت ها از ۱۵ به ۴۵ درجه نسبت به صفحه افق، قدرت حمل جریان کم می شود و این امر منجر به آرام تر شدن الگوی آشفته گی جریان در لایه های سیال نزدیک به بستر می گردد و ذراتی که از جای خود حرکت کرده اند، سریع تر انرژی جنبشی خود را از دست می دهند و بلافاصله بعد از خروج از حفره، در ناحیه برآمدگی به فرم یک قلّه نوک تیز ته نشین می شوند. به همین دلیل اختلاف بین ارتفاع برآمدگی رسوبات پایین دست حفره، در زاویه های مورد بررسی ناچیز است. شکل های (۹-ب، ۹-ج و ۹-د) پروفیل های رسم شده با نرم افزار Surfer را نشان می دهند که برای بیشترین مقدار حفره و تل شکل (۹-الف) رسم شده اند. با مقایسه پروفیل های طولی رسم شده در شکل های مذکور مشاهده می گردد که زاویه برخورد جت ها نسبت به صفحه افق، تأثیر زیادی بر میزان حداکثر عمق آب شستگی و حجم حفره ایجاد شده دارد. به طوری که در یک دبی و دانه بندی ثابت $Q_j = 5/14 \text{ Lit/s}$ و $D_{50} = 6/75 \text{ mm}$ با افزایش θ از ۱۵ به ۳۰ درجه و همین طور از ۳۰ به ۴۵ درجه انرژی جنبشی جت آب خروجی از دریچه ها تحلیل می رود و در نهایت d_s به ترتیب ۱۳/۵۶ و ۲۶/۴۷ درصد کاهش می یابد. هم چنین حجم حفره آب شستگی در زاویه ۱۵ درجه ۱۲/۹۵ درصد بیشتر از زاویه ۳۰ درجه و در زاویه ۳۰ درجه ۱۶/۳۱ درصد بیشتر از زاویه ۴۵ درجه است.

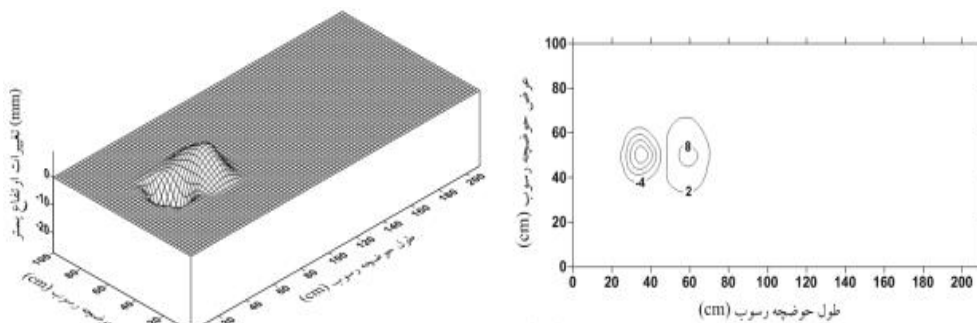
۸۲/۵ میلی متر به عنوان بیشترین ارتفاع تشکیل داده اند. نکته دیگر این است که با افزایش قطر متوسط ذرات رسوب بستر از ۱/۷ به ۶/۷۵ میلی متر، فاصله محل وقوع حداکثر عمق آب شستگی از انتهای دریچه ها حدود ۵/۵۶ درصد کاهش می یابد. علت این پدیده را می توان این گونه توجیح کرد که حرکت یک ذره هنگامی آغاز می شود که نیروهای اعمال شده توسط جریان یعنی نیروی کشسانی و بالابرنده که باعث جدا شدن ذره از بستر می شوند، بر نیروی مقاوم ناشی از وزن ذره غالب آید. بنابراین با افزایش اندازه متوسط ذرات رسوب، وزن ذرات افزایش می یابد و تنش برشی جریان آب از تنش برشی رسوبات بستر کمتر می شود. در نتیجه جدا شدن ذرات از بستر اتفاق نمی افتد و محل وقوع حداکثر عمق آب شستگی به انتهای دریچه ها نزدیک تر می شود.

شکل های (۸-ب، ۸-ج و ۸-د) پروفیل های رسم شده با نرم افزار Surfer را نشان می دهند که برای بیشترین مقدار حفره و تل شکل (۸-الف) رسم شده است. مطابق شکل های (۸-ب، ۸-ج و ۸-د) با افزایش D_{50} از ۱/۷ به ۶/۷۵ میلی متر در یک دبی و زاویه ثابت $Q_j = 5/14 \text{ Lit/s}$ و $\theta = 15$ ، حداکثر عمق آب شستگی حدود ۲۷/۲۷ درصد کاهش می یابد. هم چنین با کاهش گسترش عرضی حفره، حجم حفره آب شستگی و نیز ارتفاع برآمدگی رسوبات پایین دست حفره به ترتیب حدود ۵۵/۶۹ و ۳۰/۹۱ درصد کم می شود.

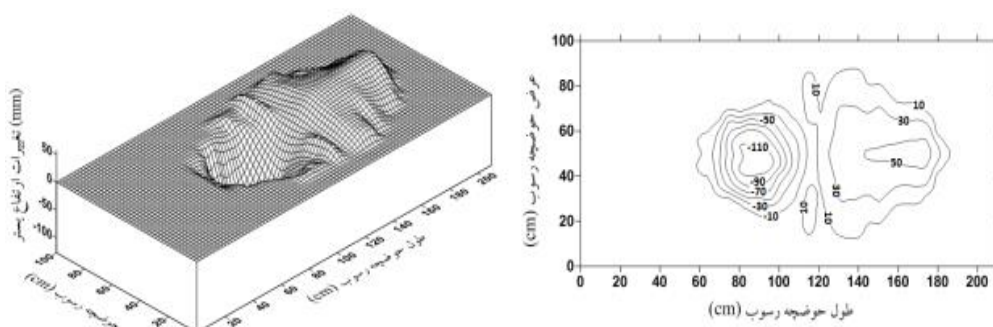
شکل (۹-الف) نمایانگر پروفیل طولی آب شستگی در رسوبات درشت دانه ($D_{50} = 6/75 \text{ mm}$)، به ازای دبی ۵/۱۴ لیتر بر ثانیه و زوایه های مختلف است. در این شکل کمترین مقدار عمق آب شستگی ۷۵ میلی متر و بیشترین عمق ۱۱۸ میلی متر مشاهده می شود. ارتفاع کمترین و بیشترین تپه نیز، به ترتیب ۵۷ و ۵۹/۲۵ میلی متر می باشد. هم چنین با افزایش زاویه برخورد جت ها از ۱۵ به ۴۵ درجه نسبت به صفحه افق، جت آب در فاصله نزدیک تری از دریچه ها به بستر برخورد می کند. در نهایت مطابق شکل (۹-الف) ابتدای حفره و محل وقوع حداکثر عمق آب شستگی به ترتیب ۵۴/۵۵ و ۴۱/۱۸ درصد به دریچه ها



(الف)

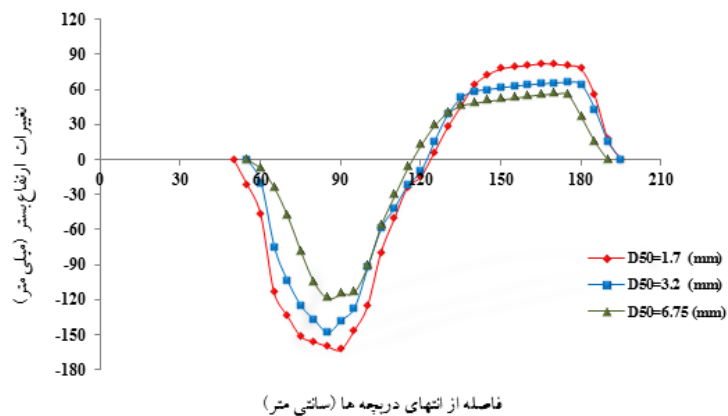


(ب)



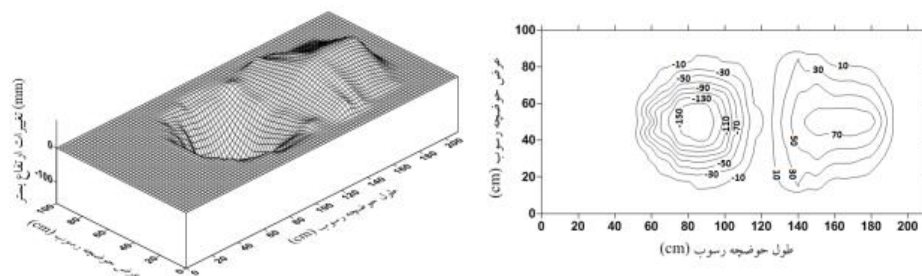
(ج)

شکل ۷ الف) پروفیل طولی تغییرات میزان آب شستگی به ازای دبی های مختلف در رسوبات درشت دانه (۶/۷۵mm)، ب) توپوگرافی کمترین مقدار حفره و تل آب شستگی در دبی ۱/۳۲ لیتر بر ثانیه، ج) توپوگرافی بیشترین مقدار حفره و تل آب شستگی در دبی ۵/۱۴ لیتر بر ثانیه

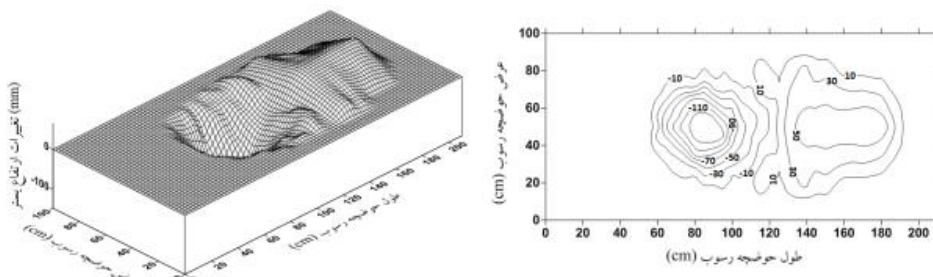


فاصله از انتهای درجه‌ها (سانتی متر)

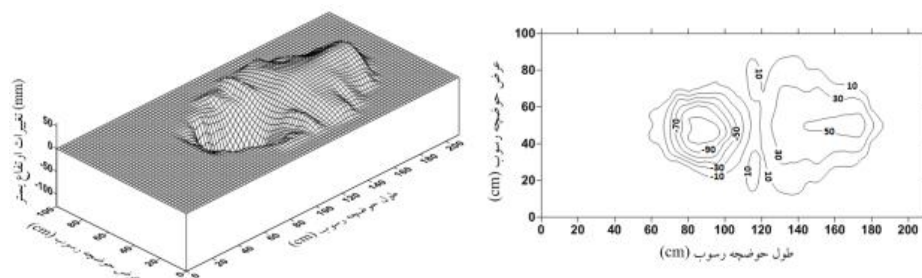
(الف)



(ب)

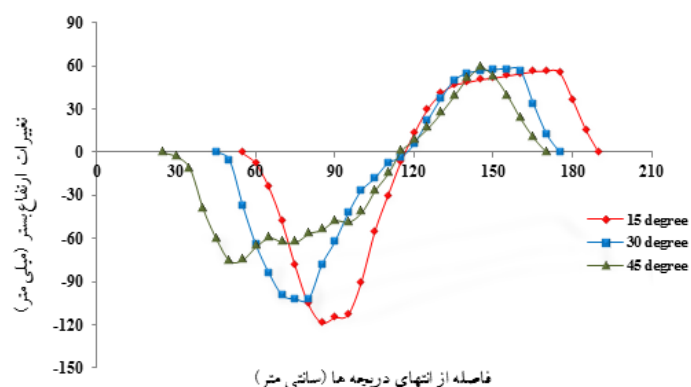


(ج)

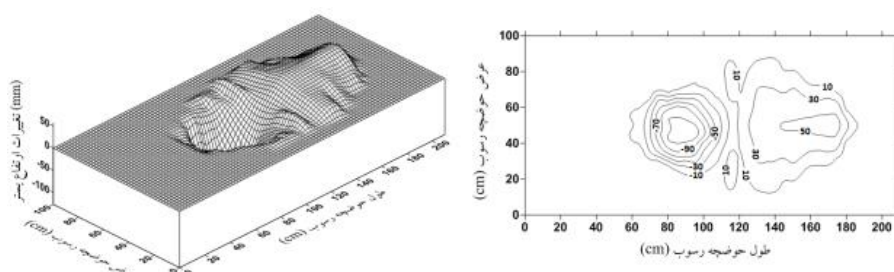


(د)

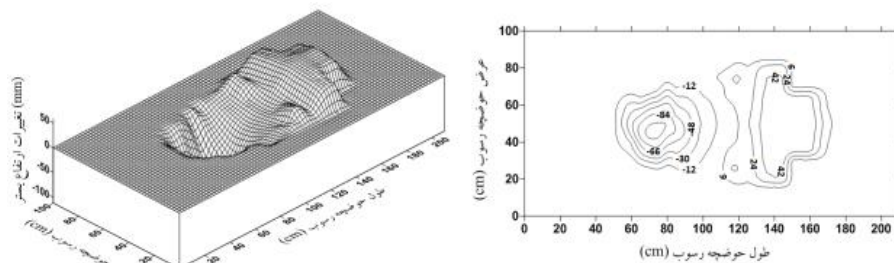
شکل ۸ الف) پروفیل طولی تغییرات میزان آب شستگی در دانه‌بندی‌های مختلف به‌ازای دبی ۵/۱۴ لیتر بر ثانیه، ب) توپوگرافی بیشترین مقدار حفره و تل آب شستگی در رسوبات ریزدانه (۱/۷mm)، ج) توپوگرافی بیشترین مقدار حفره و تل آب شستگی در رسوبات متوسط (۳/۲mm)، د) توپوگرافی بیشترین مقدار حفره و تل آب شستگی در رسوبات درشت‌دانه (۶/۷۵mm)



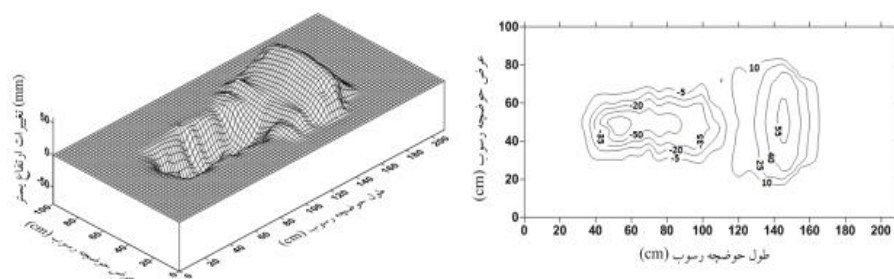
(الف)



(ب)



(ج)



(د)

شکل ۹ الف) پروفیل طولی آب شستگی با قرارگیری دریچه‌ها در زاویه‌های مختلف در دبی ۵/۱۴ لیتر بر ثانیه، ب) توپوگرافی بیشترین مقدار حفره و تل آب شستگی در زاویه ۱۵ درجه نسبت به صفحه افق، ج) توپوگرافی بیشترین مقدار حفره و تل آب شستگی در زاویه ۳۰ درجه نسبت به صفحه افق، د) توپوگرافی بیشترین مقدار حفره و تل آب شستگی در زاویه ۴۵ درجه نسبت به صفحه افق

فرمول (۱۰) را در مقابل مقادیر d_s/h_{tw} اندازه‌گیری شده در آزمایش‌ها نشان می‌دهد.

معیار ارزیابی مدل رگرسیون ضریب تعیین (Coefficient of Determination) (R^2) و جذر میانگین مربعات خطا (Root mean Square Error) (RMSE) می‌باشد. ضریب تعیین برابر با مجذور ضریب هم‌بستگی (Correlation Coefficient) (R) است و لذا:

$$R^2 = \frac{\sum_{i=1}^n (P_i - \bar{O})^2}{\sum_{i=1}^n (O_i - \bar{O})^2} \quad (7)$$

در رابطه (۷) O_i نشانگر پارامتر مشاهده‌شده، P_i پارامتر پیش‌بینی شده، \bar{O} متوسط پارامترهای مشاهداتی و n تعداد نمونه‌ها می‌باشد. جذر میانگین مربعات خطا (RMSE) نیز بیانگر تفاوت میان مقدار پیش‌بینی شده توسط مدل و مقدار واقعی است که با استفاده از رابطه (۸) محاسبه می‌شود:

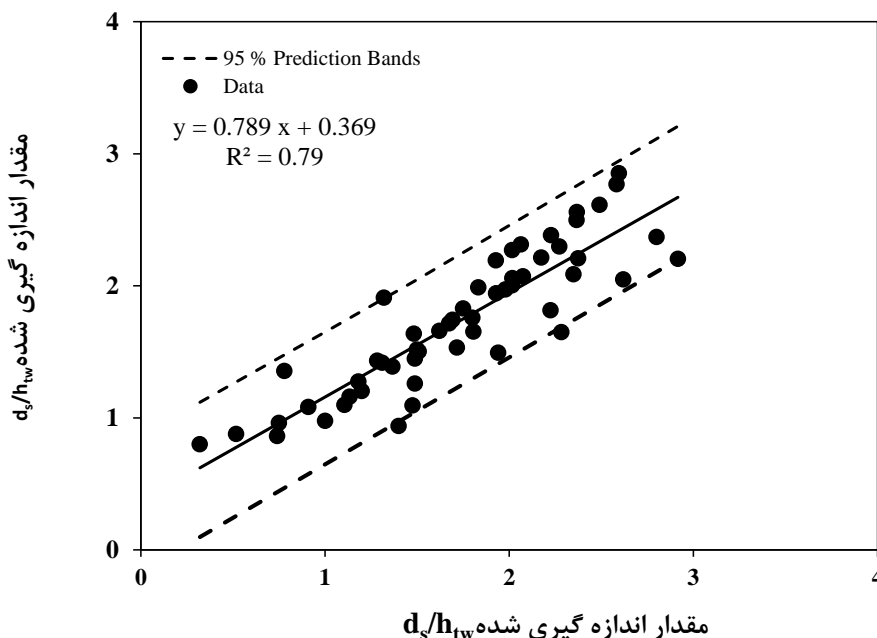
$$RMSE = \sqrt{\frac{\sum_{i=1}^n (P_i - O_i)^2}{n}} \quad (8)$$

ارائه رابطه‌ای بی‌بعد برای تعیین حداکثر عمق آبشستگی. با استفاده از آنالیز ابعادی انجام شده (رابطه ۹)، نرم‌افزار SPSS و آنالیز آماری، چندین معادله خطی و غیرخطی به داده‌های به‌دست‌آمده برازش داده شد. نتایج به‌دست‌آمده نشان می‌دهد رابطه خطی بهترین برازش را بر روی داده‌های آزمایشگاهی دارد که توسط رابطه (۶) نشان داده شده است:

$$\frac{d_s}{h_{tw}} = 2.325 + 0.028F_g - 0.037\theta \quad (6)$$

که در رابطه (۱۰) d_s حداکثر عمق آبشستگی (متر)، h_{tw} عمق پایاب (متر)، F_g عدد فرود ذره ($F_g = \frac{V_j}{\sqrt{g(G_s - 1)D_{50}}}$)، V_j سرعت جت آب خروجی از دریچه‌ها (متر بر ثانیه)، g شتاب ثقل (متر بر مجذور ثانیه)، G_s چگالی نسبی ($G_s = \rho_s/\rho$)، ρ_s چگالی ذرات بستر و ρ چگالی آب (کیلوگرم بر متر مکعب)، D_{50} قطر متوسط ذرات رسوب بستر پایین‌دست دریچه‌ها (متر) و θ زاویه برخورد جت‌های ریزشی آزاد نسبت به صفحه افق (درجه) می‌باشد.

شکل (۱۰) مقادیر d_s/h_{tw} محاسبه‌شده با استفاده از



شکل ۱۰ مقادیر d_s/h_{tw} محاسبه‌شده با استفاده از رابطه (۶)، در مقابل مقادیر d_s/h_{tw} اندازه‌گیری شده در آزمایش‌ها

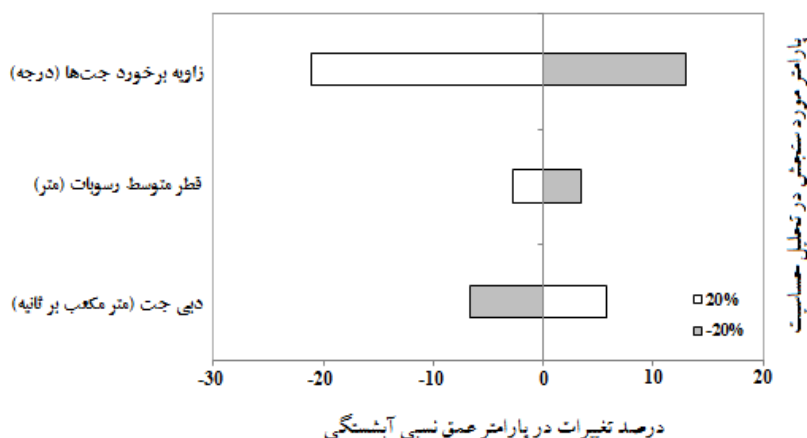
$\pm 20\%$ درصد نمو داده شد. سپس نتیجه این تغییرات بر عملکرد رابطه (۱۰) در تخمین پارامتر عمق نسبی آب‌شستگی (d_s/h_{tw}) مورد ارزیابی قرار گرفت. شکل (۸) نمایانگر تحلیل حساسیت پارامتر d_s/h_{tw} در مقابل پارامترهای Q_j ، D_{50} و θ ، با اعمال $\pm 20\%$ درصد تغییر می‌باشد.

تحلیل‌ها حاکی از آن است که افزایش ۲۰ درصد در دبی جت آب خروجی از دریچه‌ها، منجر به رشد ۵/۷۱ درصد در پارامتر d_s/h_{tw} می‌گردد. در نقطه مقابل با کاهش ۲۰ درصد از Q_j ، عمق نسبی آب‌شستگی با کاهشی معادل ۶/۶۲ درصد روبه‌رو خواهد بود. در تحلیلی مشابه در خصوص قطر متوسط رسوبات بستر می‌توان چنین بیان نمود که افزایش ۲۰ درصد در D_{50} ، منجر به کاهش ۲/۷۶ درصد در پارامتر نسبی d_s/h_{tw} می‌گردد. در حالی که با کاهش ۲۰ درصد از D_{50} ، عمق نسبی آب‌شستگی با رشدی معادل ۳/۴۷ درصد مواجه خواهد بود. در نهایت کاهش ۲۰ درصد از زاویه برخورد جت‌ها نسبت به صفحه افق، نشان داد که پارامتر d_s/h_{tw} با رشدی معادل ۱۲/۹۳ درصد مواجه است. در نقطه مقابل نیز با افزایش ۲۰ درصدی پارامتر θ ، عمق نسبی آب‌شستگی ۲۱/۱۰ درصد کاهش می‌یابد.

در نهایت رابطه (۱۰) به ترتیب دارای ضریب تعیین (R^2) و ریشه میانگین مربعات خطا (RMSE) معادل ۰/۷۹ و ۰/۲۷ می‌باشد. همان‌طور که ملاحظه می‌شود در معادله (۱۰) تعداد پارامترهای کمتری برای ارزیابی دخالت دارند، اما با این حال هم‌بستگی ($R=0/89$) مناسبی بین داده‌ها مشاهده می‌شود و RMSE قابل قبولی نیز برای مدل به دست آمده است. هرچه پارامترهای کمتری در مدل مورد بررسی قرار گیرد (در صورتی که از دقت مدل کم نشود)، از لحاظ اقتصادی به صرفه‌تر، از لحاظ علمی قابل اجراتر و از لحاظ آزمایشگاهی نیز خطای کمتری دارد.

تحلیل حساسیت رابطه خطی ارائه شده در این تحقیق نسبت به پارامترهای مؤثر در ایجاد حفره آب‌شستگی.

به منظور بررسی پارامترهای مؤثر بر رابطه عمومی معرفی شده در تخمین حداکثر عمق آب‌شستگی پایین-دست دریچه‌های سدهای مخزنی، نسبت به تحلیل حساسیت رابطه (۱۰) اقدام گردید. بدین منظور ابتدا مقادیر پارامترهای دبی جت آب خروجی از دریچه‌ها (Q_j)، قطر متوسط رسوبات بستر (D_{50}) و زاویه برخورد جت‌های ریزشی آزاد نسبت به صفحه افق (θ)، به میزان



شکل ۱۱ تحلیل حساسیت پارامتر d_s/h_{tw} در مقابل پارامترهای Q_j ، D_{50} و θ با اعمال $\pm 20\%$ درصد تغییر

(d_s) ، افزایش گسترش طولی (l_s) و عرضی حفره (W_s) ، و در نهایت افزایش حجم حفره (V_s) ، به ترتیب به میزان $۷۴/۵۸$ ، $۵۸/۳۳$ ، $۲۷/۲۷$ و $۹۵/۶۲$ درصد می‌گردد. هم‌چنین محل وقوع حداکثر عمق آبشستگی از انتهای دریچه‌ها حدود $۵۸/۸۲$ درصد دور می‌شود. ۳. افزایش قطر متوسط ذرات رسوب (D_{50}) ، تأثیر معکوس در مقدار آبشستگی دارد؛ به طوری که با افزایش D_{50} از $۱/۷$ به $۶/۷۵$ میلی‌متر در یک دبی و زاویه ثابت $(Q_j=۵/۱۴\text{Lit/s}$ و $\theta=۱۵$)، حداکثر عمق آبشستگی حدود $۲۷/۲۷$ درصد کاهش می‌یابد و محل وقوع آن حدود $۵/۵۶$ درصد به دریچه‌ها نزدیک می‌شود. هم‌چنین با کاهش گسترش عرضی حفره، حجم حفره آبشستگی و نیز ارتفاع برآمدگی رسوبات پایین‌دست حفره به ترتیب حدود $۵۵/۶۹$ و $۳۰/۹۱$ درصد کم می‌شود.

۴. افزایش زاویه برخورد جت‌های ریزشی آزاد نسبت به صفحه افق (θ) ، تأثیر زیادی بر میزان حداکثر عمق آبشستگی و حجم حفره ایجاد شده دارد؛ به طوری که در یک دبی و دانه‌بندی ثابت $(Q_j=۵/۱۴\text{Lit/s}$ و $D_{50}=۶/۷۵\text{mm}$)، با افزایش θ از ۱۵ به ۳۰ درجه و همین‌طور از ۳۰ به ۴۵ درجه انرژی جنبشی جت آب خروجی از دریچه‌ها تحلیل می‌رود و در نهایت d_s به ترتیب $۱۳/۵۶$ و $۲۶/۴۷$ درصد کاهش می‌یابد. هم‌چنین حجم حفره آبشستگی در زاویه ۱۵ درجه $۱۲/۹۵$ درصد بیشتر از زاویه ۳۰ درجه و در زاویه ۳۰ درجه $۱۶/۳۱$ درصد بیشتر از زاویه ۴۵ درجه است.

۵. افزایش زاویه برخورد جت‌ها نسبت به صفحه افق، منجر به افزایش گسترش طولی و کاهش گسترش عرضی حفره آبشستگی می‌گردد؛ به طوری که در بحرانی‌ترین شرایط در این تحقیق (رسوبات ریزدانه با $D_{50}=۱/۷\text{mm}$ و بیشترین دبی جت معادل با $Q_j=۵/۱۴\text{Lit/s}$)، بیشترین طول حفره برابر ۹۵ سانتی‌متر در زاویه ۴۵ درجه و بیشترین عرض حفره برابر ۷۰ سانتی‌متر در زاویه ۱۵ درجه می‌باشد.

در یک ارزیابی کلی می‌توان چنین بیان نمود که اعمال ± ۲۰ درصد تغییر در پارامترهای دبی جت (Q_j) ، قطر متوسط رسوبات (D_{50}) و زاویه برخورد جت‌های ریزشی افقی نسبت به صفحه افق (θ) در مجموع عمق نسبی آبشستگی (d_s/h_{tw}) را به ترتیب $۱۲/۳۳$ ، $۶/۲۳$ و $۳۴/۰۳$ درصد تحت تأثیر خود قرار می‌دهد. این بدین معناست که θ و D_{50} به ترتیب بیشترین و کمترین تأثیر را در تخمین پارامتر عمق نسبی آبشستگی (d_s/h_{tw}) دارند. علت این امر را می‌توان در شکل ظاهری رابطه خطی ارائه شده (رابطه ۱۰) نیز جستجو نمود. با توجه به این که در رابطه (۱۰)، قطر متوسط رسوبات از توان $۰/۵$ برخوردار است، این امر منجر به کاهش اثر این پارامتر در مقابل دبی جت (Q_j) و زاویه برخورد جت‌ها شده است.

نتیجه‌گیری

تحقیق حاضر به منظور بررسی آزمایشگاهی آبشستگی پایین‌دست دریچه‌های سدهای مخزنی تحت اثر جت‌های ریزشی آزاد انجام شده است. تفاوت عمده مشخصات این تحقیق را با تحقیقات پیشین، می‌توان در تعداد جت‌های خروجی و زاویه مورد استفاده در استقرار دریچه‌ها جستجو کرد. عمده نتایج حاصل از تحقیق حاضر را می‌توان به شرح زیر بیان نمود:

۱. تغییرات زمانی حفره ایجاد شده در اثر برخورد جت‌های ریزشی آزاد به بستر پایین‌دست دریچه‌ها، نشان می‌دهد که آبشستگی ابتدا به صورت عمقی گسترش می‌یابد و در زمان کوتاهی به مقدار ثابتی می‌رسد؛ در صورتی که گسترش طولی و عرضی آن ادامه دارد.
۲. تغییرات دبی جت (Q_j) ، بر آبشستگی پایین‌دست سدهای مخزنی در تمامی دانه‌بندی‌ها و زوایای مختلف برخورد جت‌ها، روند یکسانی را نشان می‌دهد. به طوری که افزایش Q_j از $۱/۳۲$ به $۵/۱۴$ لیتر بر ثانیه در یک دانه‌بندی و زاویه ثابت $(D_{50}=۶/۷۵\text{mm}$ و $\theta=۱۵$)، موجب افزایش عمق حفره آبشستگی

۶. با انجام آنالیز ابعادی به روش باکینگهام (قضیه π) و ترکیب معادلات به دست آمده، مشخص گردید که عمق نسبی آب شستگی (d_s/h_{tw}) تابعی از عدد فرود ذره ($F_g = V_j/\sqrt{g(G_s - 1)D_{50}}$) و زاویه برخورد جت‌های ریزشی آزاد نسبت به صفحه افق (θ) است.
۷. در تحقیق حاضر رابطه خطی، بهترین برازش را بر روی داده‌های آزمایشگاهی دارد که توسط رابطه زیر نشان داده شده است:
- $$\frac{d_s}{h_{tw}} = 2.325 + 0.028F_g - 0.037\theta$$
- که در رابطه (۱۰)، حداکثر عمق آب شستگی (متر)، h_{tw} عمق پایاب (متر)، F_g عدد فرود ذره ($F_g = V_j/\sqrt{g(G_s - 1)D_{50}}$) سرعت جت آب خروجی از دریچه‌ها (متر بر ثانیه)، g شتاب ثقل (متر بر مجذور ثانیه)، G_s چگالی نسبی ($G_s = \rho_s/\rho$)، ρ_s چگالی ذرات بستر و ρ چگالی آب (کیلوگرم بر متر مکعب)، D_{50} قطر متوسط ذرات رسوب بستر پایین دست دریچه‌ها (متر) و θ زاویه برخورد جت‌های ریزشی آزاد نسبت به صفحه
- افق (درجه) می‌باشد.
۸. مقادیر d_s/h_{tw} محاسبه شده با استفاده از رابطه (۱۰)، در مقابل مقادیر d_s/h_{tw} اندازه‌گیری شده در آزمایش‌ها، به ترتیب دارای ضریب همبستگی (R) و ریشه میانگین مربعات خطا (RMSE) معادل ۰/۸۹ و ۰/۲۷ می‌باشد.
۹. آنالیز حساسیت صورت گرفته بر رابطه معرفی شده در این تحقیق (رابطه ۱۰) نشان داد که با اعمال $\pm 20\%$ درصد تغییر در پارامترهای Q_j ، D_{50} و θ ، زاویه برخورد جت‌های ریزشی آزاد نسبت به صفحه افق (θ) و قطر متوسط رسوبات بستر پایین دست دریچه‌ها (D_{50}) به ترتیب بیشترین و کمترین تأثیر را در تخمین پارامتر عمق نسبی آب شستگی (d_s/h_{tw}) دارند؛ به طوری که اعمال $\pm 20\%$ درصد تغییر در Q_j ، D_{50} و θ ، در مجموع d_s/h_{tw} را به ترتیب ۱۲/۳۳، ۶/۲۳ و ۳۴/۰۳ درصد تحت تأثیر قرار می‌دهد.

مراجع

۱. مومنی و صالحیان، رضا، موسوی جهرمی، حبیب، شفاعی بستان، محمود، «آب شستگی ناشی از جت‌های مستطیلی در پایین دست پرتابه‌های جامی شکل»، مجله علوم کشاورزی و منابع طبیعی، جلد پانزدهم، ش. ۲، صص ۲۰۳-۲۱۶، (۱۳۸۷).
۲. آذرا، اردشیر، «اثر دانه‌بندی مصالح بر حداکثر عمق آب شستگی پایین دست سرریزهای ریزشی آزاد»، ششمین کنفرانس هیدرولیک ایران، شهرکرد، انجمن هیدرولیک ایران، دانشگاه شهرکرد، (۱۳۸۶).
3. Pagliara, S., Hager, W.H. and Minor, H.-E., "Hydraulics of Plane Plunge Pool Scour", *Journal of Hydraulic Engineering*, Vol. 132, Pp. 450-461, (2006).
4. Pagliara, S., Palermo, M. and Roy, D., "Stilling Basin Erosion due to Vertical Crossing Jets", *Journal of Hydraulic Research*, Vol. 50, Pp. 290-297, (2012).
5. Xie, C. and Lim, S.-Y., "Effects of Jet Flipping on Local Scour Downstream of a Sluice Gate", *Journal of Hydraulic Engineering*, Vol. 141, Pp. 040140881-040140823, (2014).
6. Termini, D., "Bed Scouring Downstream of Hydraulic Structures under Steady Flow Conditions: Experimental Analysis of Space and Time Scales and Implications for Mathematical Modeling", *Catena*, Vol. 84, Pp. 125-135, (2011).
7. Breusers, H. and Raudkivi, A., "Scouring, Hydraulic Structures Design Manual", IAHR, AA Balkema, Rotterdam, Vol. 143, (1991).

8. Mason, P.J. and Arumugam, K., "Free Jet Scour Below Dams and Flip Buckets", *Journal of Hydraulic Engineering*, Vol. 111, Pp. 220-235, (1985).
۹. سعیدی نژاد، محمدرضا، «تحلیل آب شستگی در پایین دست جت‌های ریزشی مستطیل شکل»، پایان‌نامه کارشناسی ارشد، دانشگاه تربیت مدرس، دانشکده فنی و مهندسی، دانشگاه تربیت مدرس، (۱۳۸۴).
۱۰. رنجبر، حمیدرضا، «بررسی آزمایشگاهی آب شستگی پایین دست جت‌های ریزشی در مصالح غیریکنواخت»، پایان‌نامه کارشناسی ارشد، دانشکده فنی و مهندسی، دانشگاه تربیت مدرس، (۱۳۸۶).
11. Farhodi, J. and Smith, K.V., "Local Scour Profiles Downstream of Hydraulic Jump", *Journal of hydraulic research*, Vol. 23, Pp. 343-358, (1985).
۱۲. اکبری، غلامحسین، کاویانپور اصفهانی، محمدرضا، و سلطانی سامانی، احسان، «بررسی آزمایشگاهی آب شستگی پایین دست پرتاب‌کننده جامی شکل»، مجله مهندسی آب، دوره ۷، شماره ۲۰، صص ۵۱-۶۵، (۱۳۹۰).
۱۳. کلاتری، میترا، بازرگان، جلال، «تخمین عمق آب شستگی پایین دست پرتابه‌های جامی شکل در حوضچه‌های استغراق»، پانزدهمین کنفرانس دانشجویان عمران سراسر کشور، دانشگاه ارومیه، (۱۳۹۳).